

Список литературы

- [1] Weber W.H., Peters C.R., Wanklyn B.M., Watts B.E. // Sol. St. Com., 1988. V. 68. N 1. P. 61-65.
- [2] Zhang S.L., Zhong H.T., Lin Q. // Sol. St. Com. 1988. V. 66. N 10. P. 1085-1087.
- [3] Degiorgi L., Kaldis E., Wachter P. // Sol. St. Com. 1987. V. 64. N 6. P. 873-876.
- [4] Chrzanowski J., Gygax S., Irwin J.C. // Sol. St. Com. 1988. V. 65. N 2. P. 139-143.
- [5] Сорић М., Михаилович Д., Zgonik M., Prester M., Biljajkovић K., Oreel B. // Sol. St. Com. 1987. V. 64. N 3. P. 297-300.
- [6] Александров И.В., Быков А.Б., Гончаров А.Ф., Денисов В.Н., Маврин Б.Н., Мельников О.К., Подобедов В.Б. // Письма в ЖЭТФ. 1988. Т. 47. В. 4. С. 184-187.
- [7] Mac Farlane R.M., Rosen H., Seki H. // Sol. St. Com. 1987. V. 63. N 9. P. 831-834.

Львовский государственный
университет им. И. Франко

Поступило в Редакцию
1 апреля 1990 г.

Письма в ЖТФ, том 16, вып. 18

26 сентября 1990 г.

05.2

© 1990

ВЛИЯНИЕ ТЕМПЕРАТУРЫ НА СВОЙСТВА ЭПИТАКСИАЛЬНЫХ ПЛЕНОК С ОРИЕНТАЦИЕЙ (210)

М.В. Логунов, В.В. Рандошкин,
Ю.Н. Сажин

Висмут-содержащие монокристаллические пленки феррит-граната (Вс₄МПФГ), выращиваемые методом жидкофазной эпитаксии из перехлажденного раствора-расплава на подложках (Gd,Ca)₃(Mg,Zr,Ga)₅O₁₂ с ориентацией (210), являются перспективными материалами для быстродействующих магнитооптических устройств [1-4]. В этих пленках реализуется высокая скорость доменных стенок (ДС) вследст-

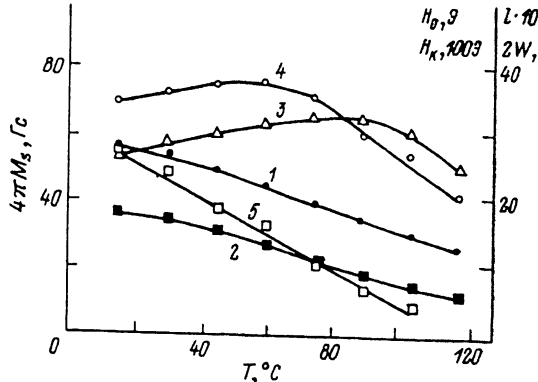


Рис. 1. Температурные зависимости ширины полосовых доменов W (1), характеристической длины l (2), поля коллапса ЦМД H_c (3), намагниченности насыщения $4\pi M_s$ (4) и поля одноосной анизотропии H_k (5).

вие наведенной в них ромбической магнитной анизотропии (РМА). Одним из основных требований, предъявляемых к материалу с точки зрения его практического использования, является термостабильность параметров.

Настоящая работа посвящена исследованию влияния температуры на статические и динамические параметры эпитаксиальных $\text{Bc}-\text{МПФГ}$ состава ($\text{Y}, \text{Lu}, \text{Pr}, \text{Bi}$)₃(Fe, Ga)₅O₁₂ с РМА. Равновесную ширину полосовых доменов W и поле коллапса цилиндрических магнитных доменов (ЦМД) H_c измеряли с помощью поляризационного микроскопа. По этим данным при известной толщине пленки h , измеренной интерференционным методом, рассчитывали характеристическую длину l и намагниченность насыщения $4\pi M_s$ [5]. Поле одноосной магнитной анизотропии H_k определяли с помощью метода фазовых переходов [6]. Динамику ДС исследовали методом высокоскоростной фотографии при использовании универсальной магнитооптической установки [7, 8]. При больших магнитных полях изучали движение ДС домена с обратной намагниченностью (ДОН), зарождающегося при импульсном перемагничивании $\text{Bc}-\text{МПФГ}$ из насыщенного состояния [9]. При этом в исходном состоянии пленку намагничивали до насыщения полем смещения $H_{\text{см}} > H_o$ вдоль нормали к плоскости пленки, а импульсное магнитное поле H_i прикладывали в противоположном направлении. При размере динамического ДОН ~ 100 мкм действующее магнитное поле равняется $H = H_i - H_{\text{см}}$. В малых полях ($H_i \sim 100$ Э), как и в [4], изучали расширение ЦМД, находящегося в исходном состоянии в поле смещения $H_{\text{см}} \leq H_o$. При этом действующее магнитное поле H равняется H_i .

Температурные коэффициенты статических магнитных параметров
Вс-МПФГ состава $(Y, Lu, Pr, Bi)_3(Fe, Ga)_5O_{12}$
при нескольких значениях температуры Т

T, °C	20	40	60	80	100
W_T , % K	-0.53	-0.60	-0.67	-0.78	-0.93
ζ_T , % K	-0.82	-0.87	-1.03	-1.35	-1.80
H_{oT} , % K	+0.60	+0.44	+0.29	+0.09	-0.55
M_{sT} , % K	+0.47	+0.24	-0.38	-0.62	-1.11
H_{kT} , % K	-1.0	-1.3	-1.7	-2.6	-5.9

только в первые моменты времени после приложения импульса поля, для которых и проводили измерение скорости ДС.

На рис. 1 приведены температурные зависимости статических магнитных параметров для образца со следующими параметрами: при комнатной температуре: $h = 9.2$ мкм, $W = 13.9$ мкм, $\zeta = 1.79$ мкм, $H_o = 26$ Э, $4\pi M_s = 70$ Гс и $H = 2680$ Э. Видно, что W , ζ и H_o уменьшаются с температурой Т по закону, близкому к линейному, тогда как зависимости $H_o(T)$ и $4\pi M_s(T)$ имеют максимум в пределах исследуемого интервала температур. Снижение W с точки зрения использования Вс-МПФГ в магнитооптических управляемых транспарантах (МОУТ) может приводить, как и в [10], к нежелательному эффекту – потере монодоменного состояния ячеек МОУТ при нагревании. С другой стороны, при использовании таких Вс-МПФГ в датчиках магнитных полей этот эффект является положительным, так как сокращается путь, проходимый ДС.

Значения температурных коэффициентов параметров, которые рассчитывали так же, как в [11]:

$$A_T = A^{-1} (\Delta A / \Delta T) \cdot 100\%,$$

где A – значение параметра при $T = T_0$, $\Delta A / \Delta T$ – температурная производная при этой же температуре ($T_0 = 20$ К), приведены в таблице.

Зависимости скорости ДС v от действующего магнитного поля H для нескольких значений Т приведены на рис. 2, а. Видно, что на всех кривых имеется пик, которому предшествует начальный линейный участок. По наклону этого линейного участка определяли начальную подвижность ДС μ , которая слабо увеличивалась с ростом Т (рис. 2, б). В то же время пиковое значение скорости ДС v_p монотонно снижалось с температурой от ~ 1300 м/с при $T = 15$ °C до ~ 500 м/с при $T = 100$ °C (рис. 2, б).

Заметим, что в отличие от результатов работы [3], анизотропия скорости ДС для исследованных пленок во всем исследованном интервале температур отсутствует в пределах точности измерений ($\sim 10\%$).

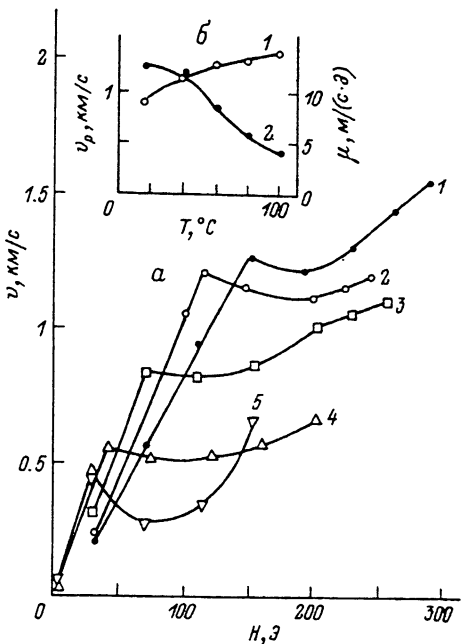


Рис. 2. а) Зависимости скорости ДС v от действующего магнитного поля H при разной температуре T , $^{\circ}\text{C}$: 1 - 15, 2 - 40, 3 - 60, 4 - 80, 5 - 100. б) Температурные зависимости начальной подвижности ДС μ (1) и пикового значения скорости ДС v_p (2).

Список литературы

- [1] Васильева Н.В., Клин В.П., Кузнецов И.А., Нам Б.П., Рандошкин В.В., Сигачев В.Б., Чани В.И., Червоненкис А.Я. Новые магнитные материалы микроэлектроники: Тез. Всес. школы-семинара, Ташкент, 1988. С. 300–301.
- [2] Рандошкин В.В., Чани В.И., Логунов М.В., Сажин Ю.Н., Клин В.П., Нам Б.П., Соловьев А.Г., Червоненкис А.Я. // Письма в ЖТФ. 1989. Т. 15. В. 14. С. 42–44.
- [3] Клин В.П., Логунов М.В., Нам Б.П., Рандошкин В.В., Сажин Ю.Н., Соловьев А.Г., Чани В.И., Червоненкис А.Я. // Письма в ЖТФ. 1989. Т. 15. В. 14. С. 79–84.
- [4] Боков В.А., Волков В.В., Петриченко Н.Л., Иевенко Л.А., Клин В.П. // ФТТ. 1989. Т. 31. В. 11. С. 310–311.

- [5] Элементы и устройства на цилиндрических магнитных доменах: Справочник / Под ред. Н.Н. Евтихиева, Б. Н. Наумова. М.: Радио и связь, 1987.
- [6] Дикштейн И.Е., Лисовский Ф.В., Манцевич Е.Г., Чижик Е.С. Препринт ИРЭ АН СССР. М., 1988, № 17(492). 28 с.
- [7] Логунов М.В., Рандошкин В.В., Сигачев В.Б. // ПТЭ. 1985. № 5. С. 247-248.
- [8] Рандошкин В.В. Препринт ИОФ АН СССР. М., 1989, № 52. 41 с.
- [9] Рандошкин В.В. Препринт ИОФ АН СССР. М., 1989, № 23. 21 с.
- [10] Ануфриев А.Н., Бондарь С.А., Кожухарь А.Ю., Кудряшкин И.Г., Летюк Л.М. // ЖТФ. 1986. Т. 56. В. 3. С. 621-623.
- [11] Телесинин Р.В., Дудоров В.Н., Морченко А.Т., Рандошкин В.В. // Микроэлектроника. 1979. Т. 8. В. 1. С. 79-84.

Институт общей физики АН СССР,
Москва

Поступило в Редакцию
28 февраля 1990 г.

Письма в ЖТФ, том 16, вып. 18

26 сентября 1990 г.

00 00

(C) 1990

ОПТИЧЕСКИЕ СВОЙСТВА МОНОКРИСТАЛЛОВ ТЕЛЛУРИДА СВИНЦА, ВЫРАЩЕННЫХ ИЗ ШИХТЫ, СОДЕРЖАЩЕЙ ГАДОЛИНИЙ

Д.М. З а я ч у к, В.И. М и к и т ю к

Как сообщалось в [1], при выращивании кристаллов $PbTe$ методом Бриджмена из шихты, содержащей примесь гадолиния, конечные участки кристаллических слитков самой примеси не содержат. В магнитном отношении их свойства идентичны свойствам кристаллов, выращенных из "чистой" шихты. Данная работа посвящена исследованию и сопоставлению оптических свойств кристаллов этих двух групп в области прозрачности. Исследовалась спектры поглощения конечных (длиной 6-8 мм) участков слитков, выращенных из шихты с различным содержанием гадолиния и без него. Отсутствие гадолиния в исследуемых образцах контролировалось по измерениям магнитной восприимчивости. Часть исследований проведена на тех же слитках, что в работе [1]. Результаты исследований приведены на рисунке, некоторые параметры исследованных образцов представлены в таблице.